

АКАДЕМИЯ НАУК СССР

---

РАДИОТЕХНИКА  
И  
ЭЛЕКТРОНИКА

Том XXXIII

(ОТДЕЛЬНЫЙ ОТТИСК)

3

---

МОСКВА · 1988

УДК 537.874.6.01

## ДИФРАКЦИЯ ВОЛН НА ПРЯМОУГОЛЬНОМ ЦИЛИНДРЕ

*Велиев Э. И., Веремей В. В., Шестопалов В. П.*

Предложен строгий метод решения задачи дифракции волн на идеально проводящем прямоугольном цилиндре, который рассматривается как составное тело, образованное «склеиванием» плоских лент. В основе метода лежат идеи метода частичного обращения оператора и метода моментов. В результате задача сведена к решению бесконечных систем линейных алгебраических уравнений (СЛАУ). Показано, что к решению этих систем применим метод редукции. Неизвестными в них являются коэффициенты разложения функций плотности поверхностных токов на гранях цилиндра по полной системе полиномов Гегенбауэра с весовым множителем, учитывающим характер поведения токов на ребрах. В предложенном методе как частный случай содержится и новое строгое решение задачи дифракции волны на совокупности плоских лент с параллельными образующими. На основе численного счета исследованы особенности распределения токов на гранях прямоугольного цилиндра, поперечник которого равен длине полного рассеяния и диаграммы направленности (ДН) рассеянного поля.

1. Основным подходом к решению задач дифракции волн на идеально проводящих многоугольных цилиндрах (МЦ) является сведение этих задач к интегральным уравнениям 1-го рода относительно плотности тока, наводимого падающей волной на поверхности цилиндра. Для решения этих интегральных уравнений применяют численные методы, которые сводят интегральные уравнения к системам линейных алгебраических уравнений (СЛАУ) [1–5]. Однако наличие угловых точек (ребер) на контуре интегрирования заметно ухудшает точность определения функций тока из этих интегральных уравнений. Чтобы в какой-то степени улучшить ситуацию, предложены подходы, учитывающие различными способами условия на ребре в явном виде [3–5]. В этих же работах частично исследованы особенности распределения токов на гранях цилиндров и поведение полей в дальней зоне. Асимптотическому решению рассматриваемой задачи в коротковолновой области посвящены работы [6, 7], в которых решение получено на основе геометрической теории дифракции (ГТД).

Ниже для решения рассматриваемой задачи предлагается строгий метод, который позволяет определять искомые величины с любой наперед заданной точностью. Идея метода состоит в следующем: идеально проводя-

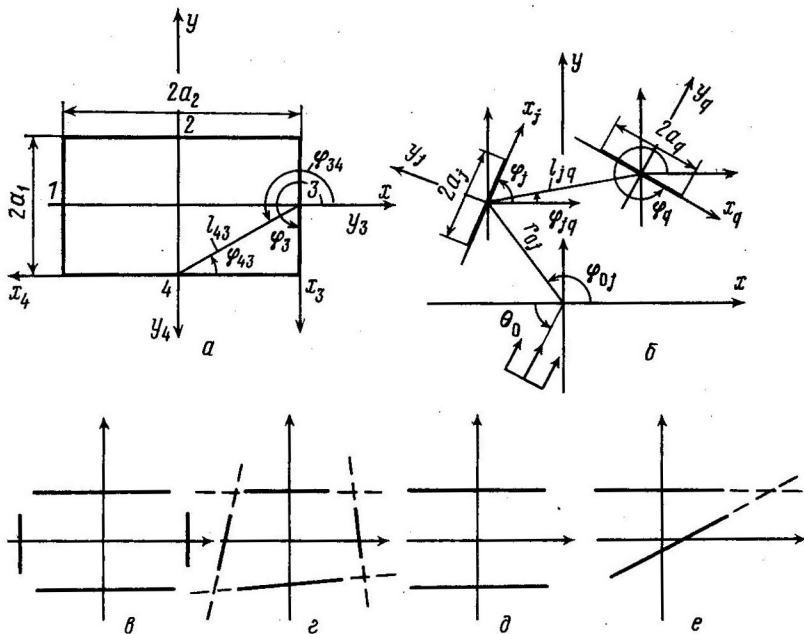


Рис. 1. Рассматриваемые структуры

щий МЦ рассматривается как составное тело, образованное «склеиванием» ключевых элементов, таких, как плоская лента (см. рис. 1, б). При таком рассмотрении задачи дифракции волны на МЦ тесно примыкают к задачам дифракции волн на  $N$  телах. В частности, поле, рассеянное МЦ, можно представить в виде суперпозиции полей, рассеянных каждой гранью цилиндра (т. е. в виде суперпозиции полей, порожденных соответствующими токами на гранях); рассеянные поля выражаются через преобразования Фурье плотности поверхностных токов на гранях цилиндра. Такие представления для рассеянных полей дают ряд важных преимуществ при построении решения задачи. Границные условия и используемое представление для рассеянных полей приводят к системе парных интегральных уравнений (с ядром в виде тригонометрических функций) относительно неизвестных преобразований Фурье. Далее к решению этих парных интегральных уравнений применяется гибридный (смешанный) [8] подход, использующий идеи метода частичного обращения оператора [9] и метода моментов [7, 9].

От известных методов, используемых при решении задачи дифракции волн на МЦ, предлагаемый метод существенно отличается также тем, что в нем как частный случай содержится и решение задачи дифракции волн на совокупности «ключевых» элементов (например на системе из  $N=4$  лент (см. рис. 1, в, г)).

Ниже основное внимание уделяется задаче дифракции плоской  $H$ -поляризованной электромагнитной волны на МЦ, поскольку именно этот случай является наиболее сложным для исследования<sup>1</sup>. Учитывая, что основные идеи предлагаемого метода решения, применительно к правильным МЦ, опубликованы в [10, 11], в данной работе на примере прямоугольного

<sup>1</sup> Случай  $E$ -поляризованной волны может быть рассмотрен аналогичным образом.

цилиндра подробно исследуется бесконечная СЛАУ, к которой сводится поставленная задача, на предмет существования и единственности решения и применимости к ее решению метода редукции. Подробно анализируются также результаты счета при исследовании распределения токов на гранях цилиндра, поперечника полного рассеяния и диаграммы направленности (ДН) поля.

2. Пусть на рассматриваемый идеально проводящий цилиндр под углом  $\theta_0$  (см. рис. 1, а, б) падает плоская  $H$ -поляризованная электромагнитная волна  $H_z^0 = \exp[ik(\alpha_0 x + \sqrt{1-\alpha_0^2}y)]$  ( $k=2\pi/\lambda$ ,  $\lambda$  — длина волны,  $\alpha_0 = \cos \theta_0$ ), изменяющаяся во времени как  $e^{-i\omega t}$ . Цилиндр в направлении  $oz$  неограничен и имеет прямоугольное поперечное сечение в плоскости  $xy$ . Введем следующие обозначения (см. рис. 1, а, б):  $\{x_j, y_j\}_{j=1}^4$  — локальные системы координат, связанные с центрами граней цилиндра;  $\{2a_j\}_{j=1}^4$  — ширины граней;  $\{\Phi_j\}_{j=1}^4$  — углы, задающие ориентацию граней.

Задача заключается в определении  $H_z$ -компоненты поля, рассеянного цилиндром. Искомая функция должна удовлетворять уравнению Гельмгольца вне поверхности цилиндра, условию излучения Зоммерфельда на бесконечности, условию конечности энергии в любом ограниченном объеме пространства (условию Мейкснера на ребрах) и граничному условию Неймана на поверхности цилиндра.

Исходя из рассматриваемой модели МЦ полное поле можно представить в виде  $H_z = H_z^0 + \sum_{j=1}^4 H_z^{(j)}$ , где  $H_z^{(j)}$  описывает рассеянное поле, порожденное поверхностным током на  $j$ -й грани. Эти поля в локальных системах координат, как и в задаче дифракции на плоской ленте в случае  $H$ -поляризованного возбуждения, можно представить в виде [12]

$$(1) \quad H_z^{(j)} = -\frac{\varepsilon_j}{2\pi} \frac{|y_j|}{y_j} \int_{-\infty}^{\infty} h_j(\alpha) \exp\{ik[\alpha x_j + \sqrt{1-\alpha^2} |y_j|]\} d\alpha,$$

где  $\varepsilon_j = ka_j$ , а  $\{h_j(\alpha)\}_{j=1}^4$  является преобразованием Фурье функций

$$\{\mu_j(x_j)\}_{j=1}^4 = \frac{1}{2\pi} \int_{-\infty}^{\infty} h_j(\alpha) \exp(ik\alpha x_j) d\alpha,$$

описывающих плотности поверхностных токов на гранях МЦ, причем  $\mu_j(x_j) = 0$  при  $|x_j| > a_j$ ; т. е. эти функции продолжены нулем вне интервала  $x_j \in [-a_j, a_j]$ . В (1) выбрана та ветвь функции  $\sqrt{1-\alpha^2}$ , для которой  $\operatorname{Im} \sqrt{1-\alpha^2} > 0$  при  $|\alpha| \rightarrow \infty$ . Заметим, что если для бесконечно тонких экранов функции тока  $\mu_j(x_j)$  определяются как скачок  $H_z$ -компоненты полного магнитного поля, то для МЦ под функцией  $\mu_j(x_j)$  будем понимать предельное значение  $H_z$ -компоненты поля на гранях МЦ, т. е.  $\mu_j(x_j) = H_z(x_j, +0)$ ,  $x_j \in [-a_j, a_j]$ .

3. Для определения неизвестных  $\{h_j(\alpha)\}_{j=1}^4$  подчиним полное поле граничному условию Неймана на поверхности цилиндра

$$(2) \quad \left. \frac{\partial}{\partial n} \left( H_z^0 + \sum_{j=1}^4 H_z^{(j)} \right) \right|_L = 0, \quad L = \bigcup_{j=1}^4 L_j.$$

Здесь  $L_j$  — контур грани в плоскости  $x_j o_j y_j$ , а нормаль  $n$  ориентирована вдоль оси  $o_j y_j > 0$ .

Чтобы удовлетворить уравнению (2), необходимо поля  $H_z^0$  и  $H_z^{(q)}$  записать в системе координат, связанной с  $j$ -й гранью (см. рис. 1, б). Пользуясь связью между системами координат, в системе координат  $x_j o_j y_j$  получаем следующие представления для этих полей:

$$(3) \quad H_z^0 = \exp \{ie_j[\eta_j B_j(\alpha_0) + \zeta_j A_j(\alpha_0)] + ikr_0 D_j(\alpha_0)\},$$

$$H_z^{(q)} = \frac{\varepsilon_q}{2\pi} \int_{-\infty}^{\infty} h_q(\alpha) \exp \{ie_j[B_{jq}(\alpha) \eta_j + \zeta_j A_{jq}(\alpha)] + ikl_{jq} D_{jq}(\alpha)\} d\alpha,$$

$$\zeta_j < 0.$$

Здесь введены обозначения:

$$(4) \quad \begin{aligned} A_{jq}(\alpha) &= -\alpha \sin(\varphi_j - \varphi_q) - \sqrt{1 - \alpha^2} \cos(\varphi_j - \varphi_q); \\ A_j(\alpha_0) &= -\alpha_0 \sin \varphi_j + \sqrt{1 - \alpha_0^2} \cos \varphi_j, \\ B_{jq}(\alpha) &= \alpha \cos(\varphi_j - \varphi_q) - \sqrt{1 - \alpha^2} \sin(\varphi_j - \varphi_q); \\ B_j(\alpha_0) &= \alpha_0 \cos \varphi_j + \sqrt{1 - \alpha_0^2} \sin \varphi_j, \\ D_{jq}(\alpha) &= -\alpha \cos(\varphi_q - \varphi_{jq}) - \sqrt{1 - \alpha^2} \sin(\varphi_q - \varphi_{jq}); \\ D_j(\alpha_0) &= \alpha_0 \cos \varphi_{0j} + \sqrt{1 - \alpha_0^2} \sin \varphi_{0j}, \end{aligned}$$

$\eta_j = x_j/a_j$ ,  $\zeta_j = y_j/a_j$  — безразмерные координаты, а параметры  $l_{jq}$ ,  $r_{0j}$  и  $\varphi_{jq}$  определены на рис. 1, а, б.

Пользуясь теперь представлениями (3) для полей и имея в виду, что функции  $\mu_j(x)$  продолжены нулем вне интервала  $[-a_j, a_j]$ , из (2) для определения неизвестных  $\{h_j(\alpha)\}_{j=1}^4$  получаем следующую систему парных интегральных уравнений с ядром в виде тригонометрических функций:

$$(5) \quad \begin{aligned} \int_{-\infty}^{\infty} h_j(\alpha) \sqrt{1 - \alpha^2} \exp(i\varepsilon_j \alpha \eta_j) d\alpha &= \frac{2\pi}{\varepsilon_j} A_j(\alpha_0) \times \\ &\times \exp[i\varepsilon_j B_j(\alpha_0) \eta_j + ikr_0 D_j(\alpha_0)] + \frac{1}{\varepsilon_j} \sum_{q=1, q \neq j}^4 \varepsilon_q \int_{-\infty}^{\infty} h_q(\alpha) A_{jq}(\alpha) \times \\ &\times \exp[i\varepsilon_j B_{jq}(\alpha) \eta_j + ikl_{jq} D_{jq}(\alpha)] d\alpha, \quad |\eta_j| < 1, \\ \int_{-\infty}^{\infty} h_j(\alpha) \exp(i\varepsilon_j \alpha \eta_j) d\alpha &= 0, \quad |\eta_j| > 1. \end{aligned}$$

Функции  $\{h_j(\alpha)\}_{j=1}^4$  кроме системы уравнений (5) должны удовлетворять соотношениям

$$(6) \quad \int_{-\infty}^{\infty} (|\alpha| + 1) |h_j(\alpha)|^2 d\alpha < \infty, \quad j = 1, \dots, 4,$$

которые следуют из условия конечности энергии рассеянных волн в любой ограниченной части пространства. Можно показать, что это условие в фор-

ме Мейкнера для функций токов вблизи ребер (на вершинах многоугольника) приводит к следующим ограничениям:

$$(7) \quad \mu_j(\eta) \underset{\eta \rightarrow \pm 1}{\approx} C_j(1-\eta) + C_{j+1}(1+\eta) + (1-\eta^2)^v,$$

где  $\{C_j\}_{j=1}^4$  — постоянные, подлежащие определению.

Причем функции  $\{\mu_j(\eta)\}_{j=1}^4$  должны удовлетворять условию непрерывности:

$$(8) \quad \mu_j(+1) = \mu_{j+1}(-1), \dots, \mu_{N+1}(+1) = \mu_1(-1); \quad C_{N+1} = C_1; \quad N=4.$$

Условие на ребре (7) при переходе от МЦ к совокупности плоских лент путем «расстыковки» граней МЦ запишется в виде  $\mu_j(\eta) \underset{\eta \rightarrow \pm 1}{\sim} (1-\eta^2)^v$ , т. е. коэффициенты  $\{C_j\}_{j=1}^4$  полагаются равными нулю, а параметр  $v = \frac{1}{2}$ .

Чтобы удовлетворить условию (7), представим функции  $\{\mu_j(\eta)\}_{j=1}^4$  в виде равномерно сходящихся рядов по полной и ортогональной системе полиномов Гегенбауэра  $\{C_m^{v+\frac{1}{2}}(\eta)\}_{m=0}^{\infty}$  [13] с весовым множителем  $(1-\eta^2)^v$ :

$$(9) \quad \mu_j(\eta) = C_j(1-\eta) + C_{j+1}(1+\eta) + (1-\eta^2)^v \sum_{m=0}^{\infty} \mu_m^{(j)} C_m^{v+\frac{1}{2}}(\eta),$$

где  $\{\mu_m^{(j)}\}_{m=0}^{\infty}$  — новые неизвестные коэффициенты.

Соотношения (9) приводят к новым представлениям для преобразований Фурье функций  $\mu_j(\eta)$ . Можно убедиться, что они будут иметь следующий вид:

$$(10) \quad h_j(\alpha) = \frac{2i}{\varepsilon_j \alpha} [C_{j+1} K_j(-\alpha) - C_j K_j(+\alpha)] + \\ + \frac{2\pi}{\Gamma(v + \frac{1}{2})} \sum_{m=0}^{\infty} (-i)^m \beta_m^{(v)} \mu_m^{(j)} \frac{J_{m+v+\frac{1}{2}}(\varepsilon_j \alpha)}{(2\varepsilon_j \alpha)^{v+\frac{1}{2}}}.$$

Здесь

$$K_j(\pm \alpha) = \exp(\pm i \varepsilon_j \alpha) - \frac{\sin(\varepsilon_j \alpha)}{\varepsilon_j \alpha},$$

$$\beta_m^{(v)} = \frac{\Gamma(m+2v+1)}{\Gamma(m+1)}$$

$\Gamma(x)$  — гамма-функция,  $J_v(x)$  — функция Бесселя.

4. Для решения системы парных интегральных уравнений (5) воспользуемся идеями метода частичного обращения оператора [8]. С этой целью необходимо провести разбиение операторов, порождаемых левыми частями неоднородных уравнений в системе (5) на главные<sup>2</sup> и вполне непрерывные части. Эта процедура реализуется введением величины  $\gamma$  по формуле

$$(11) \quad \sqrt{1 - \alpha^2} = i |\alpha| [1 - \gamma(\alpha)]; \quad \gamma(\alpha) \underset{|\alpha| \rightarrow \infty}{\sim} O\left(\frac{1}{\alpha^2}\right).$$

<sup>2</sup> Главная часть интегрального оператора соответствует случаю, когда волновое число  $k=0$ , т. е. соответствует статике.

Подставляя (10) и (11) в (5), а также пользуясь полнотой и ортогональностью (в интервале  $\eta \in [-1, 1]$ ) полиномов Гегенбауэра и используя разрывные интегралы Вебера – Шафхейтлина [13], для нахождения коэффициентов  $\{\mu_m^{(j)}\}_{m=0}^{\infty}$  получаем связанный бесконечную СЛАУ вида

$$(12) \quad C_{j+1}[C_k^{(-j)} - d_k^{(-j)}] - C_j[C_k^{(+j)} - d_k^{(+j)}] + \\ + i \sum_{m=0}^{\infty} [1 + (-1)^{k+m}] x_m^{(j)} [C_{km}^{(v)} - Q_{km}^{(v)}] = \\ = f_k^{(j)} - \sum_{q=1, q \neq j}^4 \left[ C_{q+1} P_k^{-jq} - C_q P_k^{+jq} + \sum_{m=0}^{\infty} x_m^{(q)} P_{km}^{-jq} \right], \quad j=1, \dots, 4.$$

Здесь введены обозначения:

$$x_m^{(j)} = (-i)^m \mu_m^{(j)} \beta_m^{(v)}; \\ C_k^{(\pm j)} = \frac{i}{\pi} K_v^{jj} \int_{-\infty}^{\infty} \frac{|\alpha|}{\alpha} K_j(\pm \alpha) J_{k+v+\frac{1}{2}}(\varepsilon_j \alpha) \frac{d\alpha}{\alpha^{v+\frac{1}{2}}}, \\ d_k^{(\pm j)} = \frac{i}{\pi} K_v^{jj} \int_{-\infty}^{\infty} \frac{|\alpha|}{\alpha} \gamma(\alpha) K_j(\pm \alpha) J_{k+v+\frac{1}{2}}(\varepsilon_j \alpha) \frac{d\alpha}{\alpha^{v+\frac{1}{2}}} \\ C_{vm}^{(v)} = \frac{\Gamma^2 \left( v + \frac{1}{2} \right) \Gamma \left( \frac{k+m}{2} + 1 \right)}{\Gamma \left( v + \frac{1+k-m}{2} \right) \Gamma \left( v + \frac{1+m-k}{2} \right) \Gamma \left( \frac{k+m}{2} + 2v + 1 \right)}, \\ Q_{km} = K_v(\varepsilon_j) \int_0^{\infty} \gamma(\alpha) J_{k+v+\frac{1}{2}}(\varepsilon_j \alpha) J_{m+v+\frac{1}{2}}(\varepsilon_j \alpha) \frac{d\alpha}{\alpha^{2v}}, \\ P_k^{\pm jq} = \frac{i}{\pi} K_v^{jq} \left( \frac{\varepsilon_j}{\varepsilon_q} \right)^{v-\frac{1}{2}} \int_{-\infty}^{\infty} A_{jq}(\alpha) K_q(\pm \alpha) \times \\ \times \frac{\exp[i k l_{jq} D_{jq}(\alpha)]}{[B_{jq}(\alpha)]^{v+\frac{1}{2}}} J_{k+v+\frac{1}{2}}(\varepsilon_j B_{jq}(\alpha)) \frac{d\alpha}{\alpha}, \\ P_{km}^{jq} = K_v^{jq} \int_0^{\infty} \left( \frac{\alpha}{\varepsilon_q} \right)^{v-\frac{1}{2}} A_{jq}(\alpha) J_{m+v+\frac{1}{2}}(\varepsilon_q \alpha) \times \\ \times J_{k+v+\frac{1}{2}}(\varepsilon_j B_{jq}(\alpha)) \frac{\exp[i k l_{jq} D_{jq}(\alpha)]}{[\alpha B_{jq}(\alpha)]^{v+\frac{1}{2}}} d\alpha, \\ f_k^{(j)} = K_v(\varepsilon_j) 2^{v+\frac{1}{2}} \Gamma \left( v + \frac{1}{2} \right) \exp[i k r_0 D_j(\alpha_0)] A_j(\alpha_0) \times \\ \times \frac{J_{k+v+\frac{1}{2}}(\varepsilon_j B_j(\alpha_0))}{[B_j(\alpha_0)]^{v+\frac{1}{2}}}, \quad K_v(\varepsilon_j) = \left( \frac{2}{\varepsilon_j} \right)^{2v-1} \frac{2 \Gamma^2(v+\frac{1}{2})}{\Gamma(2v)}. \\ K_v^{jq} = 2(2\varepsilon_q)^{v-\frac{1}{2}} \Gamma(v+\frac{1}{2}) K_v(\varepsilon_j).$$

Коэффициенты  $\{C_j\}_{j=1}^4$  в СЛАУ (12) определяются соотношениями

$$(13) \quad \exp[-ie_jB_j(\alpha_0) + ikr_0D_j(\alpha_0)] + \sum_{q=1, q \neq j, j=1}^4 \left\{ \sum_{m=0}^{\infty} x_m^{(q)} e_m^{jq} + \right. \\ \left. + i[C_{q+1}e_{jq}^{(-)} - C_qe_{jq}^{(+)}] = -C_j; \quad j=1, \dots, 4, \right.$$

которые следуют из определения функций тока на гранях МЦ и из условий на ребре (7), (8). В (13) величины  $\{e_m^{jq}\}_{m=0}^{\infty}$ ,  $\{e_{jq}^{(\pm)}\}_{j \neq q=1}^4$  определены следующим образом:

$$e_{jq}^{(\pm)} = \frac{1}{\pi} \int_{-\infty}^{\infty} K_q(\pm\alpha) \exp[-ie_jB_{jq}(\alpha) + ikl_{jq}D_{jq}(\alpha)] \frac{d\alpha}{\alpha}, \\ e_m^{jq} = \frac{\varepsilon_q}{(2\varepsilon_q)^{v+\frac{1}{2}} \Gamma(v+\frac{1}{2})} \int_{-\infty}^{\infty} J_{m+v+\frac{1}{2}}(\varepsilon_q\alpha) \exp[-ie_jB_{jq}(\alpha) + \\ + ikl_{jq}D_{jq}(\alpha)] \frac{d\alpha}{\alpha^{v+\frac{1}{2}}}.$$

Доказано, что для бесконечных СЛАУ (12) справедлива альтернатива Фредгольма. Доказательство основано на том, что, во-первых, установлена ограниченность норм в гильбертовом пространстве  $l_2$  матричных операторов  $\{C^{(j)}\}_{j=1}^4$ ,  $\{Q_j\}_{j=1}^4$ ,  $\{P_{jq}\}_{j \neq q=1}^4$ , которым соответствуют матрицы  $\{C_{km}^{(v)}\}_{k,m=0}^{\infty}$ ,  $\{Q_{km}^{(v)}\}_{k,m=0}^{\infty}$  и  $\{P_{km}^{jq}\}_{k,m=0}^{\infty}$  соответственно, а, во-вторых, показана положительная определенность операторов  $\{C^{(j)}\}_{j=1}^4$ . Иными словами, в пространстве  $l_2$  матричные операторы  $\{Q_j\}_{j=1}^4$ ,  $\{P_{jq}\}_{j \neq q=1}^4$  являются вполне непрерывными операторами, а операторы  $\{C^{(j)}\}_{j=1}^4$  имеют двухсторонний непрерывный обратный оператор. Также показано, что числовые последовательности  $\{f_k^{(j)}\}_{k=0}^{\infty}$ ,  $\{C_k^{(\pm j)}\}_{k=0}^{\infty}$ ,  $\{d_k^{(\pm j)}\}_{k=0}^{\infty}$ ,  $\{P_k^{\pm jq}\}_{k=0}^{\infty}$  принадлежат пространству  $l_2$ . Следовательно, можно утверждать, что бесконечная СЛАУ (12) принадлежит к классу операторных уравнений (см. [14]), для которых справедлива альтернатива Фредгольма.

В качестве примера приведем следующие оценки для норм операторов  $\{P_{jq}\}_{j \neq q=1}^4$ , которые описывают взаимодействие граней МЦ:

$$(14) \quad \|P_{21}\| = \|P_{21}\| \leq \frac{(\varepsilon_1 \varepsilon_2)^{v-\frac{1}{2}} \Gamma(v)}{2\sqrt{\pi} \Gamma(v+\frac{1}{2})} \left[ \frac{1}{\Gamma(1+2v)} + \xi(2v) - \right. \\ \left. - v(2v+1)\xi(2v+1) + \dots \right] < \infty, \\ \frac{1}{2} < v < 1,$$

$$\|P_{24}\|^2 = \|P_{42}\|^2 \leq \frac{2^{4v}}{\pi} \varepsilon_2^3 \alpha_v^{(1)} \left\{ \frac{d_v}{\alpha_v^{\frac{1}{2}}} K_{\frac{1}{2}}(2\varepsilon_1) + \alpha_v^{(2)} (\varepsilon_2) - \right.$$

$$-2^{\frac{v}{2}} \sum_{m=1}^{\infty} \sum_{n=1}^{\infty} \varepsilon_2^{2m} \frac{(-1)^n \Gamma(n+m+v+1)}{\Gamma(n+1) \Gamma(n+m+v+\frac{3}{2}) \Gamma(2m+n+2v+2)} \times \\ \times \frac{\partial^{2n+2m-1}}{\partial (2\varepsilon_1)^{2m+2n-1}} \left[ \frac{K_{\frac{n}{2}}(2\varepsilon_1)}{(2\varepsilon_1)} \right] \Big\} < \infty.$$

Здесь  $\zeta(x)$  — дзета-функция Римана,  $K_{n/2}(x)$  — сферическая функция Макдональда, а  $\alpha_v^{(1)}$ ,  $d_v$ ,  $\alpha_v^{(2)}(\varepsilon_2)$  — величины, зависящие от параметров  $v$  и  $\varepsilon_2$  соответственно.

Приближенные решения бесконечных СЛАУ (12) могут быть получены методом редукции. Действительно, поскольку положительно определенные операторы  $\{C_j^{(i)}\}_{j=1}^4$  могут быть представлены в форме (см. [15])  $C_j^{(i)} = T_j + \alpha I$ , где  $T_j$  — некоторый положительный оператор,  $I$  — единичный оператор, а  $\alpha$  — действительное число, то с учетом того, что операторы  $\{Q_j\}_{j=1}^4$  и  $\{P_{jq}\}_{j,q=1}^4$  вполне непрерывны, приходим к выводу (см. [16]) о применимости метода редукции к решению бесконечных СЛАУ (12).

5. Выше во всех формулах не подставлялось конкретное значение параметра  $v$ , который определяется условием на ребре (в рассматриваемом случае  $v = \frac{2}{3}$ ). Это вызвано необходимостью иметь возможность в част-

ном случае получить и новое строгое решение задачи дифракции волн на совокупности ключевых элементов. Ясно, что если полагать  $v = \frac{1}{2}$  и считать, что размеры плоских лент  $\{a_j\}_{j=1}^4$  таковы, что они не касаются друг друга (грани прямоугольника расстыкованы), то с помощью бесконечных СЛАУ из (12) можно получить строгое решение задачи дифракции волн на системе из четырех лент. (При этом, как отмечалось в разд. 3, необходимо коэффициенты  $\{C_j\}_{j=1}^4$  в СЛАУ (12) полагать равными нулю.) Причем при таких значениях параметров  $v$  и  $\{a_j\}_{j=1}^4$  система уравнений (12) переходит в СЛАУ Фредгольма 2-го рода относительно коэффициентов  $\{\mu_m^{(i)}\}_{m=0}^{\infty}$ . Это следует из того, что матрица  $[1 + (-1)^{k+m}] C_{km}^{(i)} \beta_{km}^{-\frac{v}{2}} = \delta_{km}$  становится диагональной ( $\delta_{km}$  — символ Кронекера). Таким образом, полученное решение носит общий характер для структур, состоящих из конечного числа плоских лент с параллельными образующими (ленточные резонаторы (рис. 1,  $\delta$  —  $\delta$ ), отражатели, близкие к уголковым (рис. 1,  $e$ ), и др.). Множество таких структур ограничено лишь тем, что поверхности лент, а также их продолжения не должны пересекать поверхности соседних лент.

6. При численной реализации данного подхода основным моментом является расчет матричных элементов СЛАУ (12), которые представляют собой несобственные интегралы. Установлено, что с ростом переменной интегрирования подынтегральная функция в величинах  $Q_{km}^{(v)}$  и  $P_{km}^{iq}$  убывает соответственно как  $O\left(\frac{1}{\alpha^{3+2v}}\right)$  и  $O\left(\frac{1}{\alpha^{2v+1}}\right)$ . Такое убывание подынтегральных функций приводит к тому, что величины  $Q_{km}^{(v)}$  и  $P_{km}^{12}$  с ростом индексов убывают как

$$(15) \quad Q_{km}^{(v)} \underset{k, m \rightarrow \infty}{O} \left[ \frac{1}{(km)^{1+v}} \right]; \quad P_{km}^{12} \underset{k, m \rightarrow \infty}{O} \left[ \frac{1}{(km)^v} \right]; \quad v > \frac{1}{2}.$$

Отсюда можно сделать вывод, что интегралы в величинах  $Q_{km}^{(v)}$  могут быть вычислены, например, методом Симпсона. Что касается интегралов в  $P_{km}^{(12)}$ , то для получения надежных численных результатов необходимо провести улучшения сходимости подынтегральной функции. Самый простой путь в этом направлении заключается в том, что надо отнять и прибавить асимптотику подынтегральной функции.

Здесь же отметим, что асимптотика (15) для матричных элементов  $P_{km}^{(12)}$  и оценка нормы операторов, порождаемых этими матрицами (см. (14)), позволяют сделать два очень важных вывода: *во-первых*, данный подход не позволяет сделать непрерывный предельный переход от прямоугольника к плоской ленте, т. е., например, нельзя высоту прямоугольника  $a_1$  устремлять к нулю, так как норма оператора  $\|P_{24}\|$  неограниченно возрастает (что следует из (14)). Переход к ленте и другим структурам из лент можно проводить так, как это указано в разд. 5; *во-вторых*, невозможно стыковать бесконечно тонкие ленты, не изменив условия на ребре (в точке стыка), поскольку, если в СЛАУ (12) полагать  $v=1/2$ , то оператор  $P_{12}$  не будет вполне непрерывным.

Разработан комплекс программ на языке АЛГОЛ-ГДР для ЭВМ БЭСМ-6. Приводимые ниже результаты получены на их основе.

По найденным коэффициентам  $\{x_m^{(j)}\}_{m=0}^{\infty}$  из СЛАУ (12) плотности поверхностных токов рассчитывались по формуле (9), а поперечник полного рассеяния и ДН рассеянного поля по формулам

$$\sigma_s = -\frac{4}{k} \operatorname{Re} \Phi(\theta_0),$$

$$\Phi(\phi) = -\frac{1}{2} \sum_{j=1}^4 \epsilon_j \sin(\phi - \phi_j) \exp[ikr_{0j} \cos(\phi - \phi_{0j})] \times$$

$$\times \left\{ \frac{2i}{\epsilon_j \cos(\phi - \phi_j)} \left[ C_{j+1} K_j(-\cos(\phi - \phi_j)) - C_j K_j(\cos(\phi - \phi_j)) + \right. \right.$$

$$\left. \left. + \frac{2\pi}{\Gamma(v+1/2)} \sum_{m=0}^{\infty} x_m^{(j)} \frac{J_{m+v+1/2}(\epsilon_j \cos(\phi - \phi_j))}{[2\epsilon_j \cos(\phi - \phi_j)]^{v+1/2}} \right] \right\},$$

которые можно получить, пользуясь выражением рассеянных полей в дальней зоне и оптической теоремой [12]. На рис. 2 приведены распределения плотности поверхностных токов на гранях цилиндра с квадратным сечением при различных значениях частотного параметра  $\epsilon = ka$  и угла падения  $\theta_0$ . Из этих рисунков видно, что при нормальном падении волны ( $\theta_0 = 90^\circ$ ) значение амплитуды тока на грани в области тени значительно меньше, чем в освещенной области, и с ростом  $\epsilon$  в теневой области число осцилляций тока заметно увеличивается. При угле падения  $\theta_0 = 45^\circ$  две боковые грани цилиндра освещаются равномерно, поэтому токи на них по амплитуде заметно превосходят токи на неосвещенных граниях. Такое распределение токов приводит к появлению в ДН поля (см. рис. 2) боковых лепестков, сравнимых с основным и тенеобразующими лепестками. ДН при  $\theta_0 = 90^\circ$  и  $ka > 1$  напоминает ДН плоской ленты (изрезанность ДН вблизи нуля связана с влиянием боковых граней), а при  $ka < 1$  – ДН кругового цилиндра.

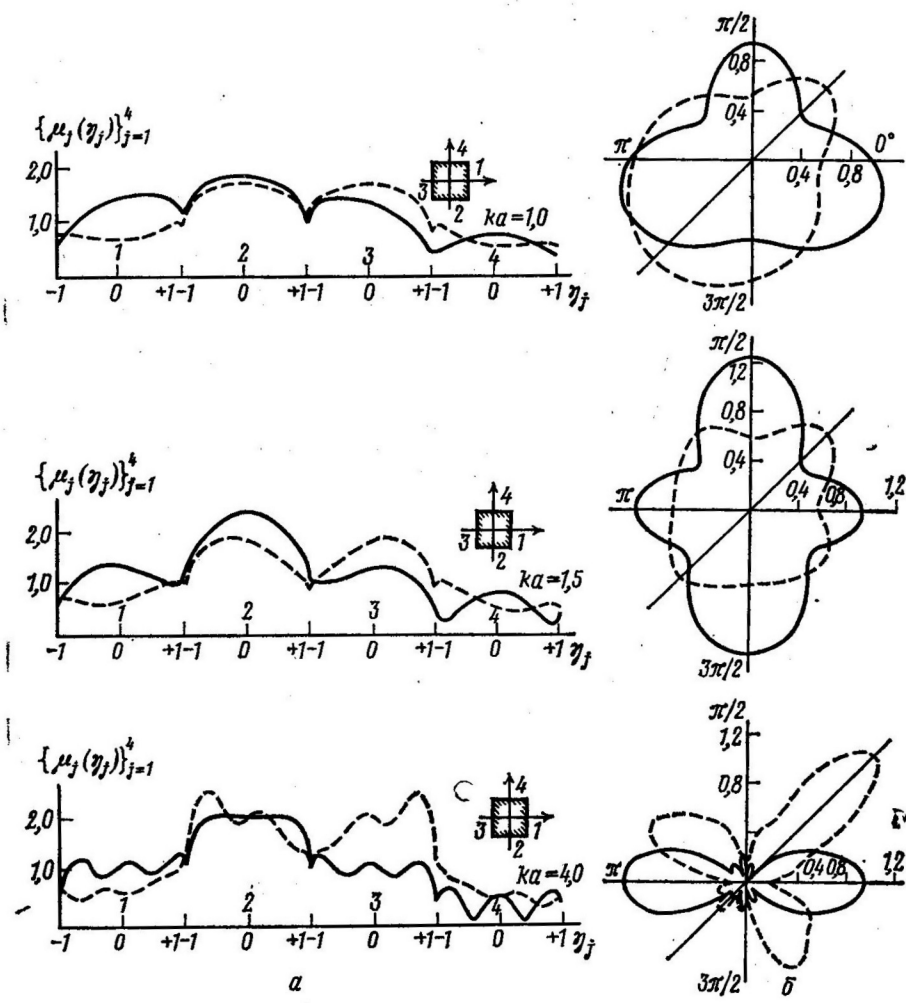


Рис. 2. Распределение функции плотности тока  $|\mu_j(\eta)|_{j=1}^4$  на гранях квадратного цилиндра при различных  $\varepsilon = ka$ ; ДН поля при  $\Phi_0 = 90^\circ$  (сплошная линия);  $45^\circ$  (штриховая линия)

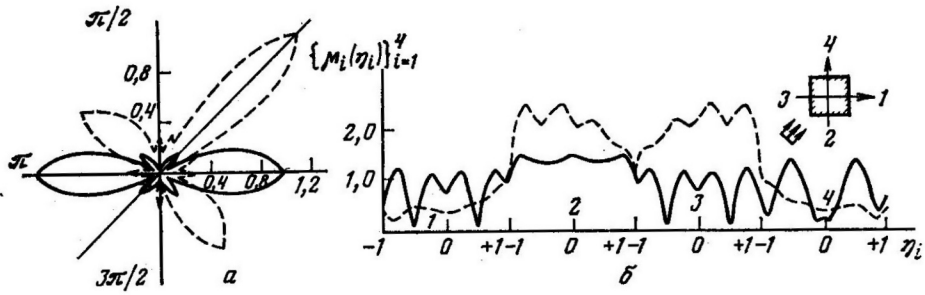


Рис. 3. Квадратный цилиндр с волновым размером  $ka = 2\pi$ ; а – ДН поля; б – распределение функции плотности тока при  $\Phi_0 = 90^\circ$  (сплошная линия);  $45^\circ$  (штриховая линия)

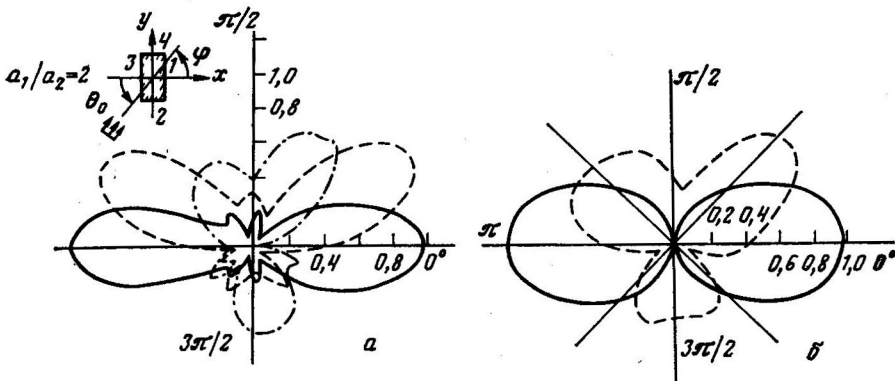


Рис. 4. ДН поля для прямоугольного цилиндра при различных  $ka$  и  $\theta_0$ ; а -  $ka_1=4$  при  $\theta_0=0$  (сплошная линия);  $30^\circ$  (штриховая линия);  $60^\circ$  (штрихпунктирная); б -  $ka_1=3$  при  $\theta_0=0$  (сплошная линия);  $45^\circ$  (штриховая)

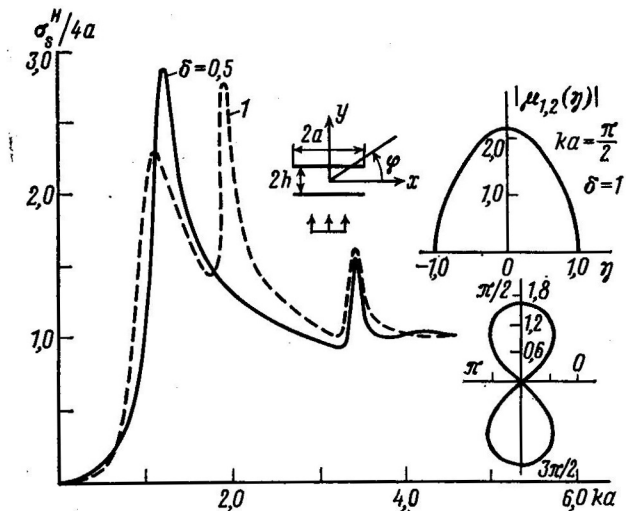


Рис. 5. Частотные зависимости поперечника полного рассеяния  $\sigma_s^H/4a$  при  $\delta=h/a=0,5; 1, a$  также распределение функции плотности тока  $|\mu_j(\eta)|^2$  на поверхности лент резонатора и ДН поля при  $ka=\pi/2$ ,  $\delta=1$ ,  $\theta_0=90^\circ$

На рис. 3 приведены распределения токов и ДН поля для цилиндра с квадратным сечением при  $ka=2\pi$ . ДН поля для цилиндров с прямоугольным сечением при различных  $ka_1$  и  $\theta_0$  представлены на рис. 4. Заметим, что ДН поля на рис. 3 совпадает с графической точностью с ДН, приведенной в [7].

В таблице выписаны значения  $\sigma_s^H$  для различных  $ka$  и  $\theta_0$ . На рис. 5 в качестве примера показаны частотные зависимости  $\sigma_s^H$  для плоского ленточного резонатора при значениях параметра  $\delta=h/a=0,5; 1$ , а также распределения токов на лентах и ДН. Эти результаты полностью совпадают с данными работы [17]. Как следует из рис. 5, зависимости  $\sigma_s^H$  от  $ka$  носят резонансный характер. Резонансы связаны с возбуждением квазисобственных колебаний ленточного резонатора [17].

$\sigma_s^H$			$\sigma_s^H$		
$ka$	$\theta_0$ , град		$ka$	$\theta_0$ , град	
	90	45		90	45
0,4	0,13835	0,14117	3	0,97857	1,12862
0,8	0,60643	0,63168	4	0,96065	1,35398
1,2	0,89496	0,69736	5	1,03665	1,47678
1,5	1,14448	0,71475	$2\pi$	0,98557	1,5233

В заключение отметим, что на основе предложенного метода решены и задачи дифракции на многоугольных цилиндрах с более сложным поперечным сечением [18, 19].

Авторы признательны проф. А. С. Ильинскому за обсуждение результатов работы и высказанные при этом ценные замечания.

#### ЛИТЕРАТУРА

1. *Mei K. K., Van Bladie J. G.* // IEEE Trans. 1963. V. AP-11. No 2. P. 185.
2. *Izuka K., Yen J. L.* // IEEE Trans. 1967. V. AP-15. No 6. P. 795.
3. *Abdelmessih S., Sinclair G.* // Canad. J. Phys. 1967. V. 45. No 3. P. 1305.
4. *Shafai L.* // Canad. J. Phys. 1970. V. 48. No 8. P. 954.
5. *Hunter J. D.* // Canad. J. Phys. 1972. V. 50. No 2. P. 139.
6. *Morse B. J.* // J. Math. Phys. 1964. V. 5. No 2. P. 199.
7. *Митра Р., Гао Б., Рахмат-Самий.* // ТИИЭР. 1979. Т. 67. № 11. С. 20.
8. Новое в зарубежной науке: Численные методы теории дифракции. М.: Мир, 1982. № 29.
9. *Шестопалов В. П.* Сумматорные уравнения в современной теории дифракции. Киев: Наук. думка, 1983.
10. *Велиев Э. И.* // Докл. АН СССР. 1985. Т. 285. № 2. С. 319.
11. *Велиев Э. И., Веремей В. В.* // Тез. докл. IX Всесоюз. симпоз. по дифракции и распространению волн. Тбилиси: Изд-во Тбил. ун-та, 1985. Т. 1. С. 511.
12. *Хенк Х., Мауз А., Вестпфаль К.* Теория дифракции. М.: Мир, 1964.
13. *Бэйтмен Г., Эрдейи А.* Высшие трансцендентные функции. Т. 2. М.: Наука, 1974.
14. *Конторович Л. В., Акилов Г. П.* Функциональный анализ. М.: Наука, 1984.
15. *Русс Ф., Секефальви-Надь Б.* Лекции по функциональному анализу. М.: Мир, 1979.
16. *Гохберг И. Ц., Фельдман И. А.* Уравнения в свертках и проекционные методы из решения. М.: Наука, 1971.
17. *Борзенков А. В., Сологуб В. Г.* // РЭ. 1975. Т. 20. № 5. С. 925.
18. *Велиев Э. И., Шестопалов В. П.* // Докл. АН СССР. 1985. Т. 282. № 5. С. 1094.
19. *Велиев Э. И.* // Докл. АН УССР. 1985. Сер. А. № 10. С. 43.

Поступила в редакцию  
27.II.1986